

由 Laplacian 谱确定的单圈图

朱艳丽, 刘木伙, 李倩
(华南农业大学理学院, 广东 广州 510642)

摘要: 利用同 Laplacian 谱图的线图及有相同生成树数目的特点证明了 2 类特殊的单圈图, 即 $C(\frac{n}{2}, \frac{n}{2})$ ($n=4k, k \in N$) 和 $C(r, n-r+1)$ ($n \in N$), 由它们的 Laplacian 谱确定.

关键词: 同谱图; 特征值; Laplacian 谱

中图分类号: O175.5

文献标识码: A

文章编号: 1001-411X(2009)01-0107-03

The Unicyclic Graphs Which are Determined by Their Laplacian Spectra

ZHU Yan-li, LIU Mu-huo, LI Qian

(College of Sciences, South China Agricultural University, Guangzhou 510642, China)

Abstract: By using the properties of Laplacian cospectral graphs, it is proved that two special classes of unicyclic graphs, i. e., $C(\frac{n}{2}, \frac{n}{2})$ ($n=4k, k \in N$) and $C(r, n-r+1)$ ($n \in N$), are determined by their Laplacian spectra.

Key words: cospectral graphs; eigenvalue; Laplacian spectrum

设 $G = (V, E)$ 是 m 条边的 n 阶简单无向图, 其邻接矩阵和度矩阵分别记为 $A(G)$ 和 $D(G) = \text{diag}\{d_u : u \in V\}$, 其中 d_u 是顶点 u 的度. 特别的, 若 $d_u = k$, 则称 u 为 G 的一个 k 度点. 图 G 的 Laplacian 矩阵定义为 $L(G) = D(G) - A(G)$, 易见 $L(G)$ 是半正定的实对称矩阵, $L(G)$ 的特征值记为 $u_1 \geq u_2 \geq \dots \geq u_n = 0$. 若 $L(G_1)$ 和 $L(G_2)$ 有相同的特征值, 则称图 G_1 和图 G_2 同谱. 对于图 G_1 而言, 若找不到另外一个图 G 使得图 G_1 和图 G 同谱, 则称图 G_1 由它的 Laplacian 谱确定. $L(G)$ 的特征多项式记为: $\Phi(G) = |uI - L(G)| = q_1 u^n + q_0 u^{n-1} + \dots + q_{n-1} u + q_n$.

P_n, C_n 分别表示 n 阶的路和圈. 由 C_r 的一个顶点与 P_{n-r+1} 的一个悬挂点粘合所得的图记为 $C(r, n-r+1)$ (图 1). 当 $n=4k$ ($k \in N$), 由 $C_{\frac{n}{2}}$ 的每个顶点接同一条悬挂边所得的图记为 $C(\frac{n}{2}, \frac{n}{2})$ (图 1), 由于 $n=4k$ 及二部图定义知, $C(\frac{n}{2}, \frac{n}{2})$ 为二部图.

文中未定义的记号和术语均参见文献[1].

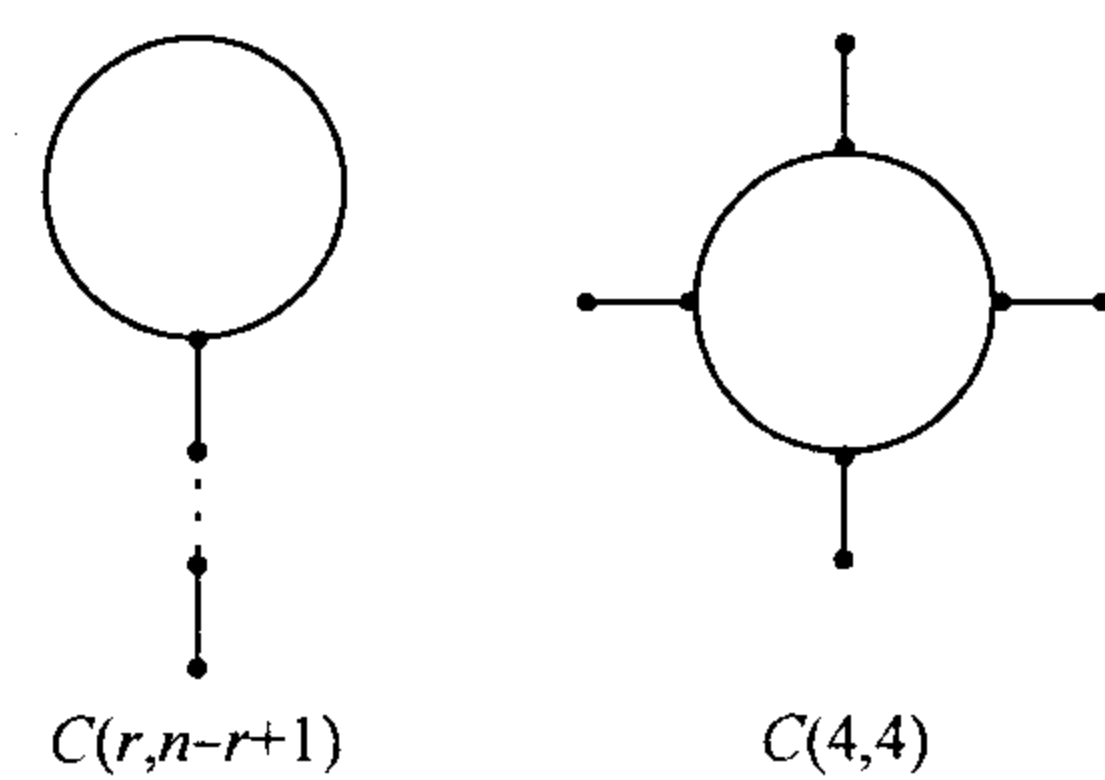


图 1 单圈图 $C(r, n-r+1)$ 与 $C(4, 4)$

Fig. 1 The unicyclic graphs $C(r, n-r+1)$ and $C(4, 4)$

“哪些图由它们的 Laplacian 谱确定?” 的问题起源于化学^[2], 在图谱理论的研究中是一个困难而有趣的问题. Vandam 等^[2] 和 Doob 等^[3] 最先证明了所有阶数少于 5 的图和 n 阶的路、圈、完全图、完全二部正则图以及它们的补图都是由它们的 Laplacian 谱确定; 此后, 沈小玲等^[4-5] 证明了一些树、星图以及一些特殊的似星树也是由它们的 Laplacian 谱确定; 最近, Omid 等^[6] 证明了一般的似星树都是由它的

收稿日期: 2008-02-21

作者简介: 朱艳丽(1979—), 女, 讲师, E-mail: yanlizhu130@tom.com

基金项目: 华南农业大学校长基金(2008K012)

Laplacian 谱确定. 在此基础上, 本文证明了2类特殊的单圈图, 即 $C(\frac{n}{2}, \frac{n}{2})$ ($n = 4k, k \in N$) 和 $C(r, n - r + 1)$ ($n \in N$) 由它们的 Laplacian 谱确定.

主要结果

引理1 设 A, B 是 $n \times n$ 矩阵, 则下列命题等价:

- (1) A 和 B 同谱;
- (2) A 和 B 有相同的特征多项式;
- (3) $\text{tr}(A^i) = \text{tr}(B^i), i = 1, 2, \dots, n^{[2]}$.

设 A 是图 G 的邻接矩阵, $\text{tr}(A^i)$ 表示 G 中长为 i 的闭回路的总个数. 若 G_1 和 G_2 同谱, 则由引理1可知, 对于任意给定的 i, G_1 和 G_2 含有相同数目的长为 i 的闭回路. 特别的, 它们有相同的边数 ($i = 2$) 和三角形数目 ($i = 3$).

引理2 设 G 是 m 条边的 n 阶无向图, 则 $\Phi(G) = q_0 u^n + q_1 u^{n-1} + \dots + q_{n-1} u + q_n$ 满足: $q_0 = 1, q_1 = -2m, q_2 = 2m^2 - m - \frac{1}{2} \sum d_i^2, q_{n-1} = (-1)^{n-1} n\tau(G), q_n = 0$, 其中 $\tau(G)$ 表示 G 中生成树的数目^[7].

由引理2可知, 图 G 的阶数、边数、生成树的个数由它的 Laplacian 谱确定.

引理3 设图 G 有 n 个顶点, \bar{G} 是它的补图, 则 $u_i(G) = n - u_{n-1}(\bar{G}), 1 \leq i \leq n - 1^{[8-9]}$.

由引理3可知, 若 G 由 G 的 Laplacian 谱确定, 则 \bar{G} 也由 \bar{G} 的 Laplacian 谱确定.

引理4 在图 G 中若 $V(G) \neq \emptyset, E(G) \neq \emptyset$, 则

$$\Delta(G) + 1 \leq u_1(G) \leq \max \left\{ \frac{d_u(d_u + m_u) + d_v(d_v + m_v)}{d_u + d_v}, uv \in E(G) \right\},$$

其中 m_v 表示 v 的邻点的平均度, $\Delta(G)$ 表示 G 中顶点的最大度. 进一步的, 若 G 是至少有2个顶点的连通图, 则 $u_1(G) = \Delta(G) + 1$ 当且仅当 $|V(G)| = \Delta(G) + 1^{[10-11]}$.

引理5 设 G 是 n 阶的二部图, $X(G)$ 是它的线图, 则 $u_i(G) = \lambda_i(X(G)) + 2$, 其中 $\lambda_i(X(G))$ 是图 $X(G)$ 的邻接矩阵的第 i 大特征值, $i = 1, 2, \dots, n - 1^{[12]}$.

引理6 $u_{n-1}(G) > 0$ 当且仅当 G 是连通图^[13].

定理1 设 $n = 4k (k \geq 2)$, 则 $C(\frac{n}{2}, \frac{n}{2})$ 由它的 Laplacian 谱确定.

证明: 由图1可知 $C(\frac{n}{2}, \frac{n}{2})$ 为 n 条边的 n 阶单圈图, 有 $\frac{n}{2}$ 个3度点, $\frac{n}{2}$ 个悬挂点. 由引理4可知,

$4 < u_1(C(\frac{n}{2}, \frac{n}{2})) \leq 5 \frac{1}{3}$. 设图 G 与 $C(\frac{n}{2}, \frac{n}{2})$ 同谱, 若 $\Delta(G) \geq 5$, 由引理4可得 $u_1(G) \geq 5 + 1 = 6$, 矛盾. 故 $\Delta(G) \leq 4$.

由于 $C(\frac{n}{2}, \frac{n}{2})$ 连通, 故 $\mu_{n-1}(G) = \mu_{n-1}(C(\frac{n}{2}, \frac{n}{2})) > 0$, 由引理6可知 G 也是连通的. 由引理2可知

G 是有 n 条边的 n 阶单圈图, 且 G 与 $C(\frac{n}{2}, \frac{n}{2})$ 有相同数目的生成树. 注意到连通的单圈图的生成树数目等于它的圈长, 所以 G 与 $C(\frac{n}{2}, \frac{n}{2})$ 的圈长相等.

又因为 $n = 4k$, 故 $C(\frac{n}{2}, \frac{n}{2})$ 是二部图, 从而 G 也是连通的二部图. 由引理5可知, $X(G)$ 和 $X(C(\frac{n}{2}, \frac{n}{2}))$ 关于邻接矩阵同谱, 它们含有相同数目的三角形.

设 G 有 x 个4度点, y 个3度点, z 个2度点, 直接计算可知 $X(G)$ 有 $4x + y$ 个三角形. 而 $X(C(\frac{n}{2}, \frac{n}{2}))$ 有 $\frac{n}{2}$ 个三角形, 结合引理2可得下列方程组:

结合引理2可得下列方程组:

$$\begin{cases} 4x + y = \frac{n}{2} \\ 4x + 3y + 2z + n - x - y - z = 2n \\ 4^2x + 3^2y + 2^2z + n - x - y - z = 3^2 \times \frac{n}{2} + \frac{n}{2} \end{cases}$$

解得 $x = 0, y = \frac{n}{2}, z = 0$. 即 G 是有 $\frac{n}{2}$ 个3度点, $\frac{n}{2}$ 个

悬挂点的连通单圈图, 且圈长和 $C(\frac{n}{2}, \frac{n}{2})$ 相等, 故

G 与 $C(\frac{n}{2}, \frac{n}{2})$ 同构.

定理2 $C(r, n - r + 1)$ 由它的 Laplacian 谱确定.

证明: 由图1可知 $C(r, n - r + 1)$ 是 n 条边的 n 阶单圈图, 有1个3度点, $n - 2$ 个2度点, 1个悬挂点. 由引理4可得 $4 < u_1(C(r, n - r + 1)) \leq 4 \frac{4}{5}$. 设

图 G 与 $C(r, n - r + 1)$ 同谱, 若 $\Delta(G) \geq 4$, 由引理4可得 $u_1(G) \geq 4 + 1 = 5$, 矛盾. 故 $\Delta(G) \leq 3$.

由于 $C(r, n - r + 1)$ 连通, 故 $\mu_{n-1}(G) = \mu_{n-1}(C(r, n - r + 1)) > 0$, 由引理6可知 G 也是连通的. 由引理2可知 G 是 n 条边的 n 阶单圈图, 且 G 与 $C(r, n - r + 1)$ 有相同数目的生成树. 注意到连通的单圈图的生成树数目等于它的圈长, 故 G 与 $C(r, n - r + 1)$ 的圈长相等. 设 G 有 x 个3度点, y 个2度点. 由

引理 2 可得下列方程组:

$$\begin{cases} 3x + 2y + n - x - y = 2n \\ 3^2x + 2^2y + n - x - y = 3^2 + 2^2(n-2) + 1 \end{cases}$$

解得 $x=1, y=n-2$. 即 G 是有 1 个 3 度点, $n-2$ 个 2 度点, 1 个悬挂点的连通单圈图, 且圈长和 $C(r, n-r+1)$ 相等, 所以 G 与 $C(r, n-r+1)$ 同构.

由引理 3、定理 1、定理 2 可得.

定理 3 $C(\frac{n}{2}, \frac{n}{2}) (n=4k, k \in N)$ 与 $C(r, n-r+1) (n \in N)$ 的补图由它们的 Laplacian 谱确定.

参考文献:

- [1] BONDY J A, MURTY U S R. Graph Theory with Applications[M]. New York: Macmillan, 1976.
- [2] VANDAM E R, HAEMERS W H. Which graphs are determined by their spectrum[J]. Linear Algebra Appl, 2003, 373: 241-272.
- [3] DOOB M, HAEMERS W H. The complement of the path is determined by its spectrum[J]. Linear Algebra Appl, 2002, 356: 57-65.
- [4] 沈小玲, 张远平. 星图和最大度为 3 的似星树由它们的 Laplacian 谱确定[J]. 湖南师范大学学报, 2005, 28(1): 17-20.
- [5] 沈小玲, 侯耀平. 一些由它的 Laplacian 谱确定的树[J]. 湖南师范大学学报, 2006, 29(1): 21-24.

- [6] OMIDI G R, TAJBAKHS K. Starlike trees are determined by their Laplacian spectrum[J]. Linear Algebra Appl, 2007, 422: 654-658.
- [7] OLIVEIRA C S, DENMM A, JURKIEWIL Z S. The characteristic polynomial of the Laplacian of graphs in (a, b) -linear classes[J]. Linear Algebra Appl, 2002, 356: 113-121.
- [8] KELMANS A K. The number of trees of a graph I[J]. Automati Telemab (Automat Remote Control), 1965, 26: 154-204.
- [9] KELMANS A K. The number of trees of a graph I[J]. Automati Telemab (Automat Remote Control), 1966, 27: 56-65.
- [10] KELMANS A K, GHELNOKOV V M. A certain polynomial of a graph and graphs with an extremal numbers of trees[J]. J Combin Theory Ser, 1974, 16(B): 197-214.
- [11] LI Jiong-sheng, ZHANG Xiao-dong. On the Laplacian eigenvalues of a graph[J]. Linear Algebra Appl, 1998, 285: 305-307.
- [12] CUTMAN I, GINEITYE V, LEPOVIC M. The high energy band in the photoelectron spectrum of alkanes and its dependence on molecular structure[J]. J Serb Chem Soc, 1999, 64: 673-680.
- [13] FIEDLER M. Algebraic connectivity of graphs[J]. Czechoslovak Math J, 1973, 23: 298-305.

【责任编辑 李晓卉】

(上接第 106 页)

所描述的所有功能, 具有如下特色:

- (1) 地理数据与属性数据的紧密结合, 通过可视化的方式把数据呈现给用户;
- (2) 放大、缩小、漫游及地物选择功能, 对古树名木周围的环境一目了然;
- (3) 古树名木视频、古树名木维护记录、古树名木周围环境的改善和生长情况的记录, 对古树名木的情况进行跟踪;
- (4) 各种查询功能的实现, 可有针对性地了解古树名木和进行数据输出;
- (5) 报表和导出数据等功能, 可实现古树名木资料的快速上报、共享等;
- (6) 空间分析, 从空间上更清楚地了解古树名木的位置, 周围的环境, 并可以量化空间的相对距离, 对古树名木的定位将更加准确.

参考文献:

- [1] 王元胜, 甘长青, 周肖红. 香山公园古树名木地理信息

系统的开发技术研究[J]. 北京林业大学学报, 2003, 25(2): 55-57.

- [2] 温小荣, 周春国, 徐海兵, 等. 中山陵园古树名木地理信息系统的研建[J]. 南京林业大学学报: 自然科学版, 2006, 30(5): 139-142.
- [3] 温小荣, 周春国, 徐海兵, 等. 组件式 GIS 技术在古树名木地理信息系统中的应用[J]. 福建林业科技, 2006, 33(4): 74-76.
- [4] 林孝松. 城市古树名木地理信息系统建设初步研究[J]. 福建林业科技, 2007, 34(2): 210-214.
- [5] 王凌怡. 泉州市古树名木保护信息管理系统建立[J]. 福建热作科技, 2006, 31(4): 37-39.
- [6] 刘光. 地理信息系统二次开发教程[M]. 北京: 清华大学出版社, 2002: 10-24.
- [7] 刘光, 刘小东. 地理信息系统二次开发实用教程——VB.NET 和 MapObjects 实现[M]. 北京: 清华大学出版社, 2003: 9-11.

【责任编辑 李晓卉】